

С 344. 1м
Ю. 896

Изд. АН ССР, ср. 8243, 1967, Т. 31,
№ 2, с. 255 - 259

ОБЪЕДИНЕННЫЙ
ИНСТИТУТ
ЯДЕРНЫХ
ИССЛЕДОВАНИЙ

Дубна

P-2489



Лаборатория ядерных проблем

Л. Г. Юскеселиева

О ВЫЯВЛЕНИИ ДЕФЕКТОВ
В КРЕМНИЕВЫХ $p-i-n$ -ДЕТЕКТОРАХ
ЯДЕРНЫХ ИЗЛУЧЕНИЙ

1965

P-2489

Л.Г.Юскеселиева

О ВЫЯВЛЕНИИ ДЕФЕКТОВ
В КРЕМНИЕВЫХ р-i-n-ДЕТЕКТОРАХ
ЯДЕРНЫХ ИЗЛУЧЕНИЙ



Введение

Кремниевые $p - i - n$ -детекторы ядерных излучений, полученные путем дрейфа ионов лития в электрическом поле $p - n$ -перехода^{/1/}, нашли в последнее время большее применение в ядерной спектроскопии^{/2/}.

В процессе исследования механизма формирования области, чувствительной к излучению, нами были обнаружены некоторые структурные дефекты $p - n$ -перехода кремниевых $p - i - n$ -детекторов. В настоящей работе приведены результаты по выявлению дефектов, возникающих во время дрейфа ионов лития в монокристалле кремния p -типа, изменения и связи этих дефектов с некоторыми электрическими характеристиками $p - n$ -перехода кремниевых $p - i - n$ -детекторов.

Выявление дефектов $p - n$ -перехода в кремниевых $p - i - n$ -детекторах и экспериментальные результаты

Дефекты $p - n$ -перехода в кремниевых $p - i - n$ -детекторах были обнаружены во время дрейфа ионов лития при выявлении границы $p - n$ -перехода одновременно тремя методами:

- 1) проявление сухими негативными и позитивными электрофотографическими проявителями^{/3/};
- 2) проявление жидким электрофотографическим проявителем^{/4/};
- 3) проявление методом электрохимического отложения меди^{/5/}.

На рисунке 1 показана микрофотография границы $p - n$ -перехода, в образце №8, у которого был обнаружен дефект после 28 ч. дрейфа ионов лития. Благодаря присутствию неоднородностей в монокристалле кремния граница $p - n$ -перехода изменилась. Проявление $p - n$ -перехода было осуществлено с помощью сухого позитивного электрофотографического проявителя ПС-1. Образец №8 был отрезан перпендикулярно направлению (III) из слитка кремния p -типа, выращенного методом Чохральского, и находился на расстоянии 7 см от начала слитка. Образец представлял

себой пластинку толщиной 5,8 мм и диаметром 1,80 см с удельным сопротивлением $\rho = 250$ ом.см и временем жизни основных носителей $t = 150$ мксек.

Диффузия лития проводилась в атмосфере аргона при температуре $T = 283^\circ\text{C}$ в течение 30 минут. Условия дрейфа ионов лития для этого образца были следующие: температура $T = 138^\circ\text{C}$; напряжение обратного смещения $U = 100$ в, время $t = 38$ ч. Полученные толщины отдельных слоев детектора имеют следующие значения (вне дефекта): толщина скомпенсированной области $w_i = 1,104$ мм; толщина n -области $w_n = 124$ мкм.

Обнаруженный после 28 ч дрейфа дефект $p-n$ -перехода в образце 9 увеличился после 38 ч. дрейфа.

Вид $p-n$ -перехода у другого детектора (образец 5) также довольно странный. Дефект был обнаружен после 50 ч. дрейфа ионов лития. Граница $p-n$ -перехода была проявлена последовательно жидким электрофотографическим проявителем (рис. 2а) при напряжении обратного смещения $U = 100$ в с помощью электрохимического отложения меди без прикладывания напряжения (рис. 2б).

Образец 5 был отрезан также перпендикулярно направлению из другого слитка и находился на расстоянии 3 см от начала слитка. Удельное сопротивление образца $\rho = 422$ ом.см, время жизни основных носителей $t = 470$ мксек. Диффузия и дрейф ионов лития производились при следующих условиях: температура диффузии $T = 300^\circ\text{C}$, время диффузионного отжига $t = 30$ мин, температура дрейфа $T = 138^\circ\text{C}$, напряжение обратного смещения $U = 97$ в, время дрейфа $t = 50$ ч. Средние толщины отдельных слоев (вне дефекта) имеют следующие значения:

$$w_n = 187 \text{ мкм}; \quad w_i = 1,316 \text{ мм}.$$

Обнаруженные дефекты $p-n$ -перехода в монокристалле кремния p -типа распространяются обратно направлению дрейфа ионов лития и достигают только n -области. Это хорошо видно на рис. 2б.

В образце 14 был обнаружен во время дрейфа ионов лития дефект вблизи торца образца. На рис. 3 показана микрофотография границы $p-n$ -перехода этого образца. Форма дефекта, очевидно, сохранилась с 14 ч. по 44 ч. дрейфа ионов лития, только глубина залегания $p-n$ -перехода увеличилась. Условия диффузии и дрейфа ионов лития для образца 14 были одинаковы с условиями для образцов, у которых не обнаружено никаких дефектов $p-n$ -перехода.

Обсуждение результатов

Обычно считается, что любой дефект $p-n$ -перехода детектора должен внести изменение в его электрические характеристики. Нами этого не наблюдалось. На рис. 4

дана емкостная характеристика образца 5. Видно, что никаких изменений в виде кривой не произошло во время дрейфа, несмотря на присутствие дефекта $p-n$ -перехода детектора (см. рис. 2). Вид кривой вольт-амперной характеристики детекторов с дефектами $p-n$ -перехода тоже не изменился. В некоторых кремниевых $p-i-n$ -детекторах, однако, во время дрейфа ионов лития наблюдались дефекты в виде трещины. В этом случае ток через образец сразу увеличивался, наступал пробой. Изменение значения тока во время дрейфа ионов лития через образец 4, у которого наблюдалась трещина, и через образец 8, у которого обнаружен дефект $p-n$ -перехода (см. рис. 1), показано на рис. 5. Ток через образец 4 увеличился на порядок при появлении трещины (момент А на рис. 5), а ток через образец 8 не изменился существенно (в моменте Б на рис. 5 обнаружен дефект; в моменте В - дефект увеличился и сделана фотография (см. рис. 1)). Вольт-амперные характеристики образца 4, снятые до появления трещины и после ее удаления, показаны на рис. 6. Очевидно, что структурные несовершенства монокристалла кремния в виде трещины оказывают влияние на его электрические свойства. У всех детекторов с дефектами $p-n$ -перехода подобных изменений не наблюдалось.

Нами были проведены эксперименты, позволяющие сравнить электрические свойства $p-i-n$ -детекторов, у которых были обнаружены дефекты $p-n$ -перехода во время дрейфа ионов лития с электрическими свойствами детекторов, у которых не обнаружено никаких дефектов. Все образцы были отрезаны из одного и того же слитка и получены одновременно при одинаковых условиях диффузии и дрейфа ионов лития. Поверхностная обработка всех образцов проводилась тоже одинаково.

На рис. 7 показаны вольт-амперные характеристики четырех кремниевых $p-i-n$ -детекторов во время дрейфа ионов лития ("а" - после диффузии; "б" - после 4 ч. дрейфа; "в" - после 20 ч. дрейфа и "г" - после 50 ч. дрейфа). В образцах 1 и 2 (кривые с точками и треугольниками) никаких дефектов во время дрейфа ионов лития не наблюдалось. В образце 14 (кривая с крестиками) обнаружен дефект $p-n$ -перехода после 14 ч. дрейфа; в образце 5 (кривая с кружками) обнаружен дефект $p-n$ -перехода после 50 ч. дрейфа. Хорошо видно, что с самого начала дрейфа ионов лития в кремний - значение обратного тока в образцах с дефектами $p-n$ -перехода значительно выше, чем в образцах, у которых нет дефектов.

Ток через образец 8, у которого наблюдался дефект $p-n$ -перехода, тоже на порядок выше, чем ток через образец 4, у которого такого дефекта не наблюдалось (рис. 8).

Выводы

1. В настоящей работе впервые приведены результаты исследования дефектов $p-n$ -перехода в кремниевых $p-i-n$ -детекторах, возникших во время дрейфа ионов лития. Измерения производились одновременно методом проявления $p-n$ -перехода сухими и жидкими электрофотографическими проявителями при прикладывании напряжения обратного смещения (порядка 100 вольт) и с помощью электрохимического отложения меди без прикладывания напряжения. Результаты, полученные на основе применения этих трех методов, идентичны.

2. Обнаруженные дефекты $p-n$ -перехода кремниевых $p-i-n$ -детекторов приводят к большим значениям обратного тока в образцах по сравнению с током в образцах без дефектов. Установлено, что никакая обработка поверхности образца не уменьшает значения обратного тока до его нормального значения (2–10 мкА при 100 в). Вероятно, справедлива и обратная ситуация. Этот вопрос является особенно перспективным с точки зрения улучшения технологии кремниевых $p-i-n$ -детекторов.

3. Влияние дефектов $p-n$ -перехода во время дрейфа ионов лития на процесс формирования чувствительной к излучению области детектора достаточно сложно. Возможно, что обнаруженные дефекты $p-n$ -перехода обязаны присутствию неоднородностей в распределении акцепторов в монокристалле кремния. В этом случае метод выявления дефектов $p-n$ -перехода во время дрейфа ионов лития позволил бы измерять довольно маленькие изменения в плотности акцепторных примесей в кремнии, имеющие большое значение для изучения механизма процесса выравнивания монокристаллов по методу Чохральского.

4. Метод выявления дефектов $p-n$ -перехода в кремниевых $p-i-n$ -детекторах во время дрейфа ионов лития вполне приложим для исследования неоднородностей $p-n$ -перехода и других полупроводниковых материалов, в частности, в германиевых $p-i-n$ -детекторах.

Литература

1. E.M.Pell. J. Appl. Phys., 31, no. 2, 291 (1960).
2. N.A.Baily, J.W.Mayer, R.J.Grainger. IRE Trans. NS-9, no. 1, 91 (1962).
3. А.С. Антонов, Л.Г. Юскеселиева. Препринт ОИЯИ 2232, Дубна 1965.
4. А.С. Антонов, Л.Г. Юскеселиева. Препринт ОИЯИ Р-2002, Дубна 1965.
5. А.С. Антонов, Б.П. Осиенко, Л.Г. Юскеселиева. ЖФХ, 39, № 8, 2252 (1965).

Рукопись поступила в издательский отдел
6 декабря 1965 г.

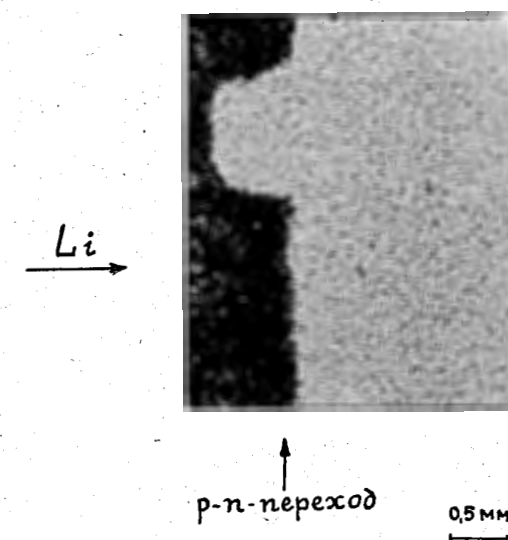


Рис. 1. Дефект $p-n$ -перехода в кремниевом $p-i-n$ -детекторе (образец 9), выявленный сухим позитивным электрофотографическим проявителем. Стрелкой указано направление диффузии и дрейфа ионов лития. Время дрейфа – 36 часов.

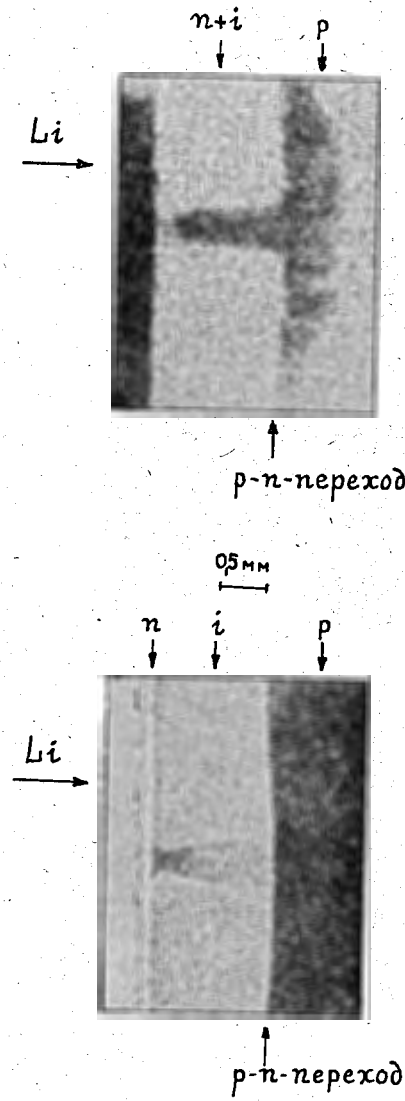


Рис. 2. Дефект р - п -перехода в кремниевом р - и - п - детекторе (образец 5), выявленный жидким электрофотографическим проявителем (а) и электрохимическим отложением меди (б). Время дрейфа - 50ч.

а)

б)

а)

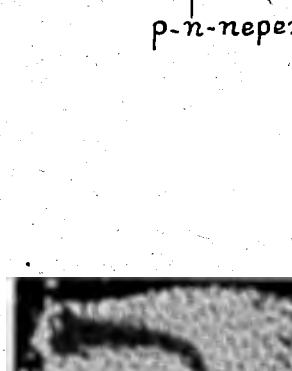
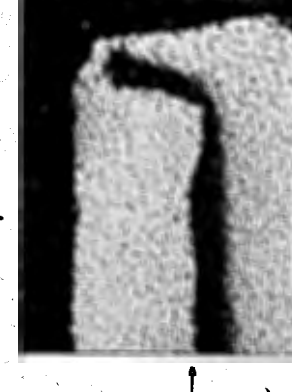
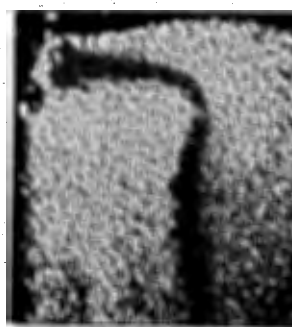
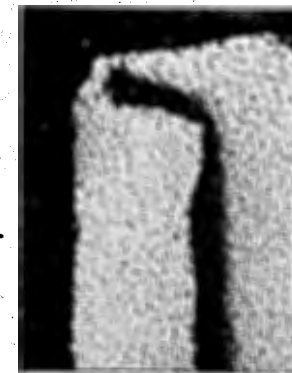
б)

в)

а)

б)

в)



0,5 мм

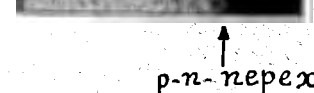
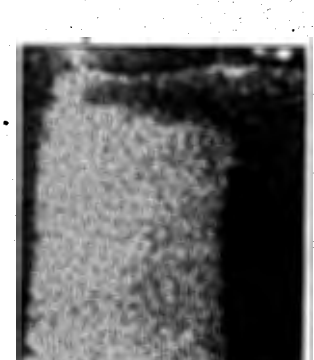
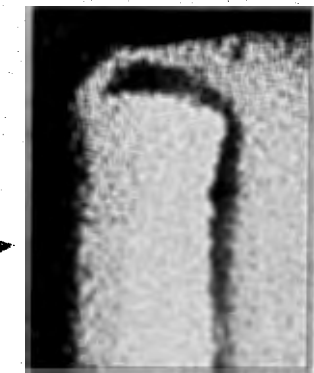


Рис. 3. Изменение дефекта р - п -перехода в кремниевом р - и - п - детекторе (образец 14) во время дрейфа ионов лития. а) после 14 ч. дрейфа; б) после 24 ч. дрейфа; в) после 34 ч. дрейфа; г) после 44 ч. дрейфа. р - п -переход выявлен жидким электрофотографическим проявителем. Стрелка слева показывает направление диффузии и дрейфа ионов лития.

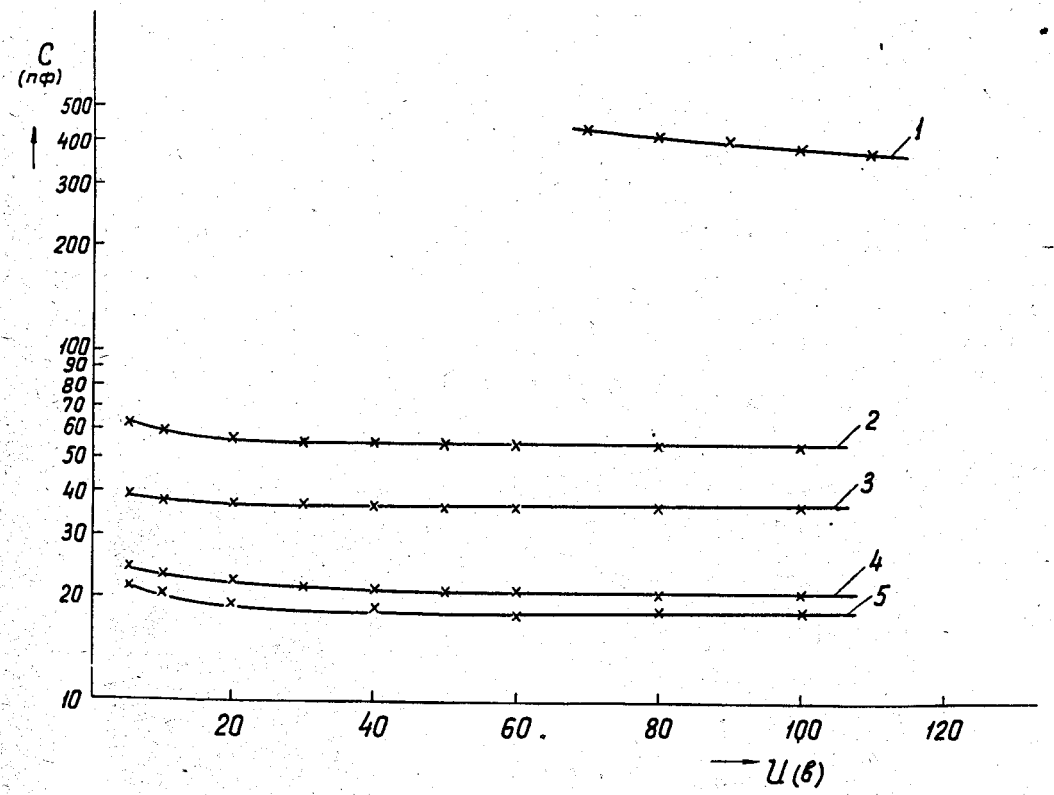


Рис. 4. Емкостная характеристика кремниевого р - i - п - детектора (образец 5) во время дрейфа ионов лития. 1 - после диффузии; 2 - после 4 ч. дрейфа; 3 - после 10 ч. дрейфа; 4 - после 30 ч. дрейфа; 5 - после 50 ч. дрейфа (обнаружен дефект).

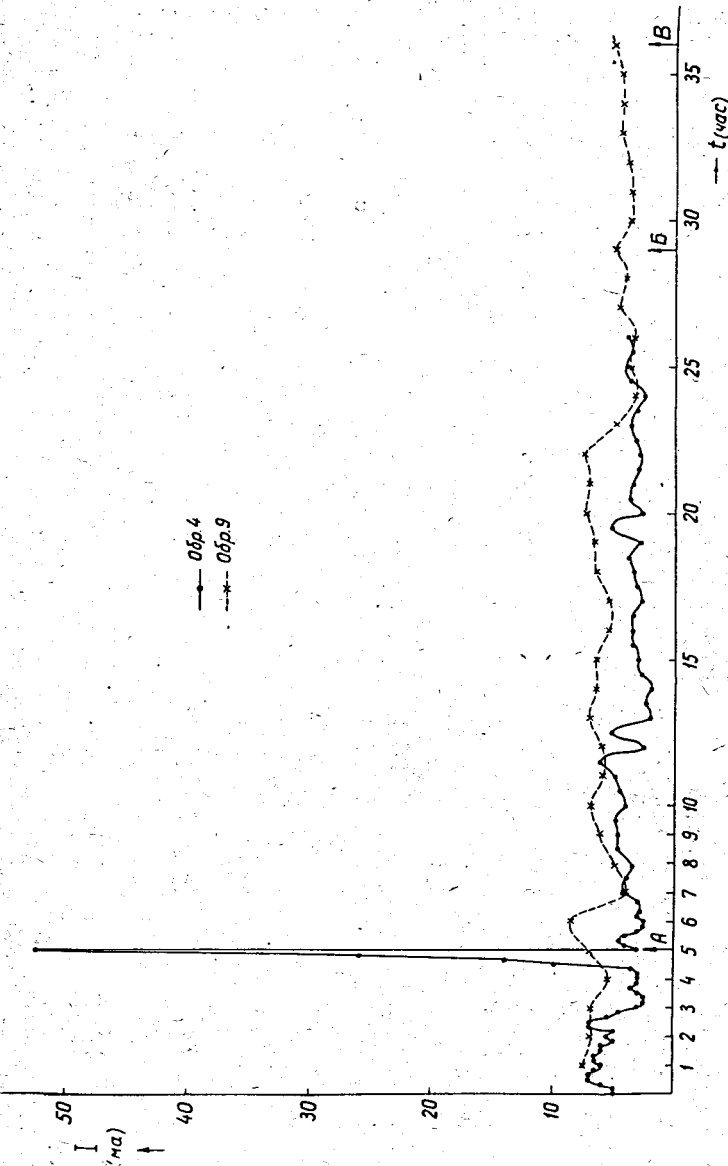


Рис. 5. Ток обратного смещения через образцы 4 и 9 во время дрейфа ионов лития.
А - момент появления трещин в образце 4; Б - момент обнаружения дефекта
р - п - переход в образце 8; В - момент фотографирования дефекта в образце 8
(см. рис. 1).

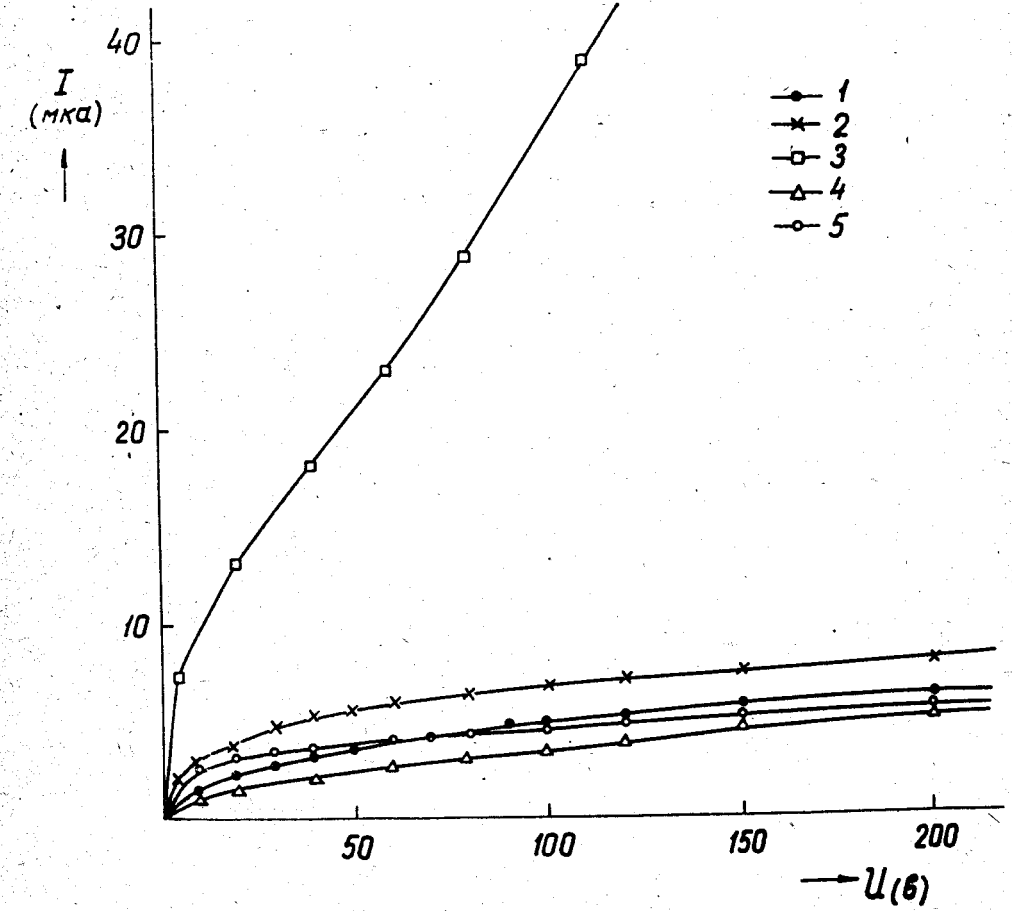


Рис. 6. Вольт-амперная характеристика кремниевого $p - i - n$ -детектора, у которого обнаружена трещина. Кривая 1 снята после 2 ч. дрейфа; кривая 2 - после 4 ч. дрейфа; кривая 3 - после 5 ч. дрейфа (обнаружена трещина); кривая 4 - после удаления трещины; кривая 5 - после 13 ч. дрейфа.

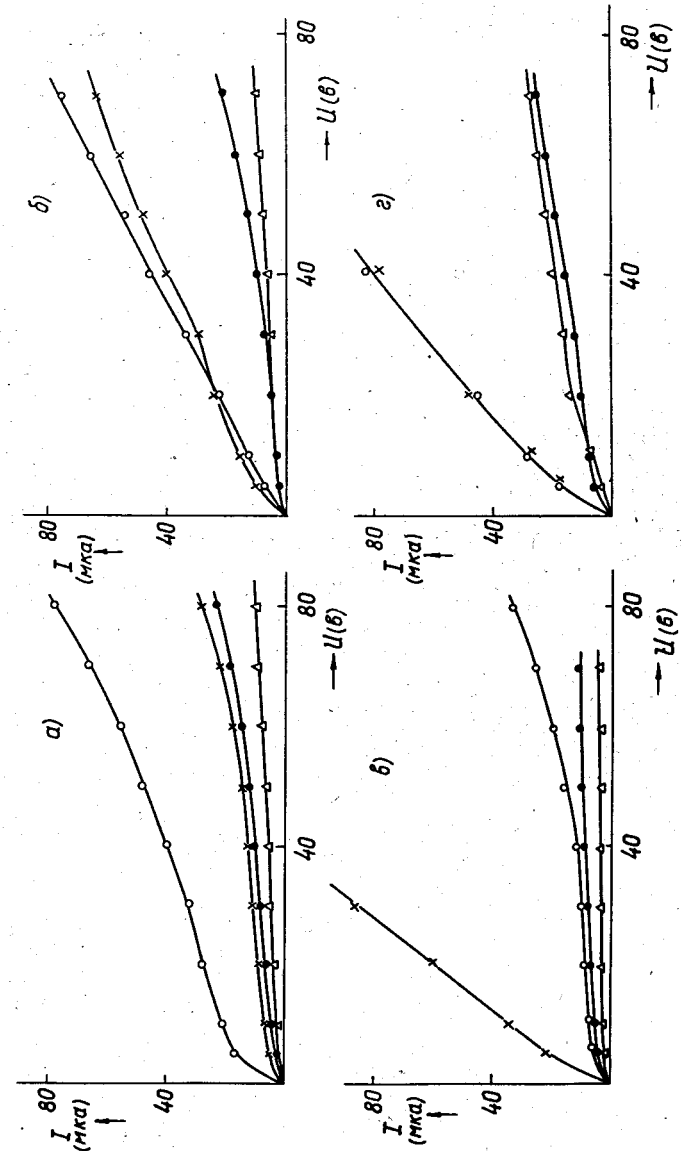


Рис. 7. Вольт-амперные характеристики четырех кремниевых $p - i - n$ -детекторов во время дрейфа ионов лигия: а) после диффузии; б) после 4 ч. дрейфа; в) после 20 ч. дрейфа; г) после 50 ч. дрейфа. ... - обр. 1; $\Delta\Delta\Delta$ - обр. 2; $\circ\circ\circ$ - обр. 5; $\times\times\times$ - обр. 14. В образцах 5 и 14 обнаружены дефекты $p - n$ -перехода (см. рис. 2 и 3).

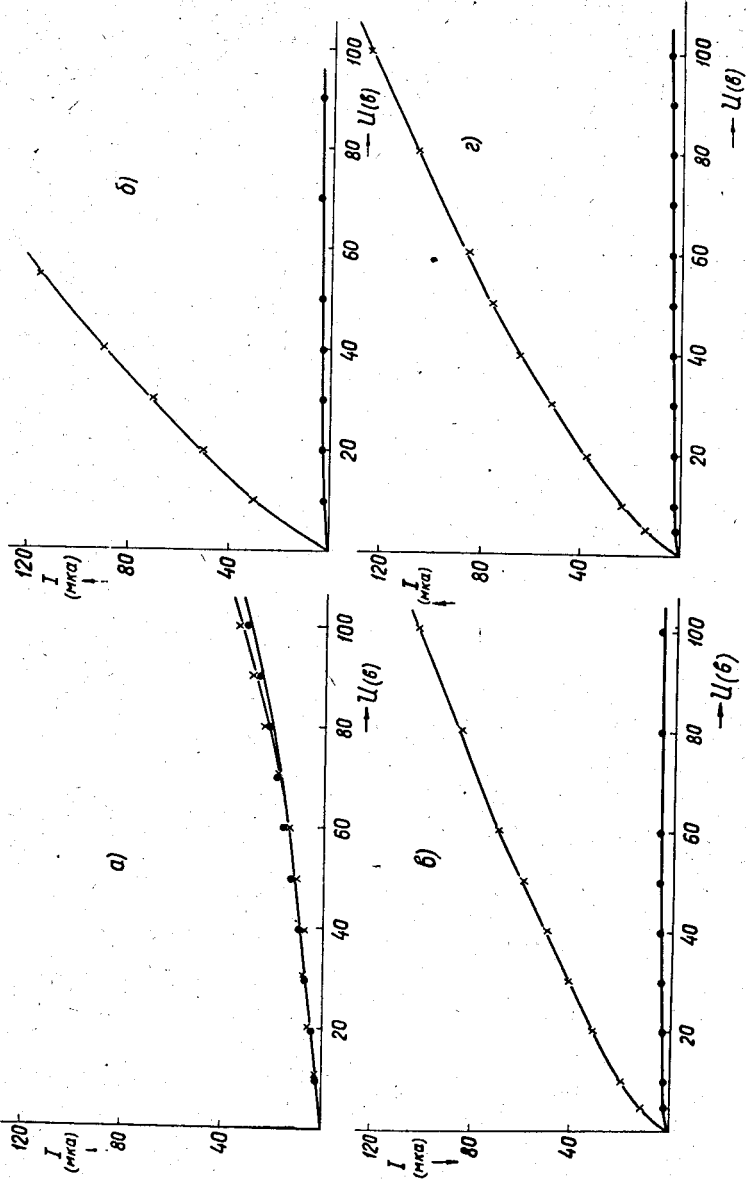


Рис. 8. Вольт-амперные характеристики двух кремниевых $p - i - n$ -детекторов во время дрейфа ионов лития: а) после диффузии; б) после 2 ч. дрейфа; в) после 4 ч. дрейфа; г) после 29 ч. дрейфа. $\times \times \times$ — образец 9, у которого обнаружен дефект $p - n - p$ перехода (см. рис. 1); ... — образ. 1;